

Rízení trajektorie robotů

aktuátory robotů ~ technické prostředky k fyzikálnímu ovlivnění prostředí (obecně)

pro mobilní roboty ~ specializované systémy umožňující přemístění systému v prostředí

technická řešení:

kolové systémy	▷ kolové podvozky
	▷ pásy
	▷ všechnová kolová
	▷ křížové systémy pro realizaci polygonů
	▷ optické (uzávěrka, vodivky, tetadla, atd.)

Vlastnosti jednotlivých řešení:

- ① Optické
 - většinou speciální roboty - plavací a letecké stroje.
 - často používá se realizovat polypy
 - zachování minimální rychlosti (tetadlo)
 - možnost manuálního řízení (brzdění, akcelerace, zatížení) nejen s klávesnicí

- problem stabilitace polohy, rychlosti.
(např. stojící vlnulky) nebo
principiální nestabilita
systému → regulacní problém

② Kraťepicí systémy

komplikovaná
Möller teorie
Fizent

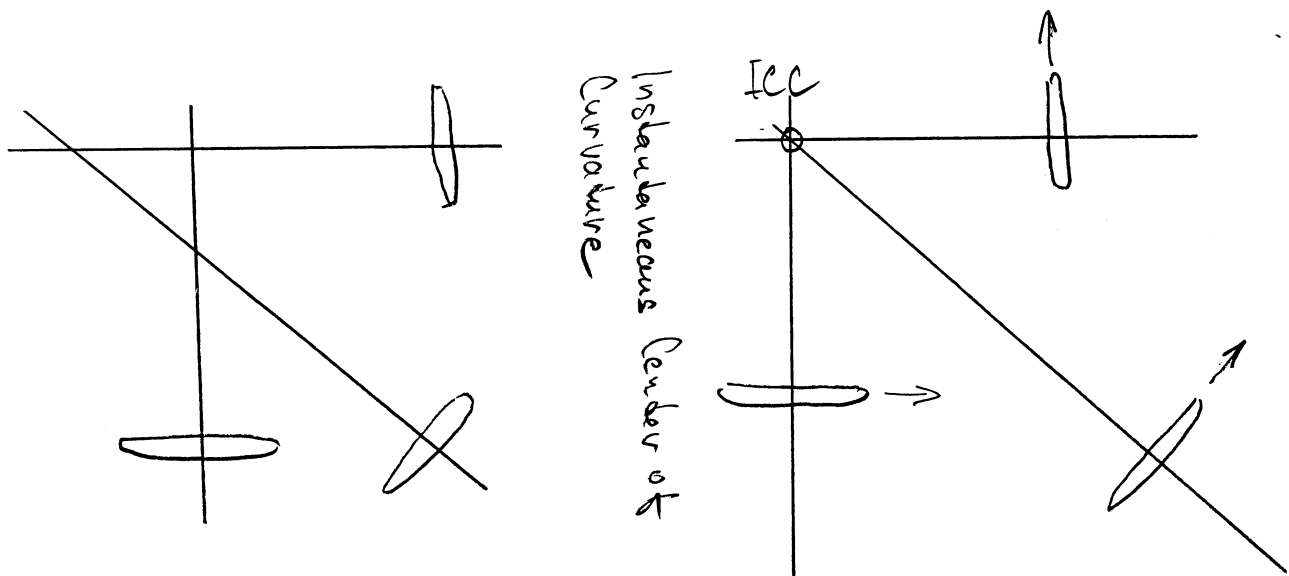
- vyroden je vysoká prostupnost
v terénu
- složitějšími problemy - mnoho
stupňů volnosti, mnoho pohonů
- Mnoha stabilitace děla robotu
(k umožnění menším sekvencím)
- 2-nohé (bipedy) a 1-nohé
(monopedy) systémy mají
problem statické / dynamické
stabilizace děla robotu

③ kolové systémy

- kolové podvozky
- pásové podvozky / snykkera kola
- všechnová kola (mecanum wheels)

Vzdelávání z katedrické kinematiky podvozků:

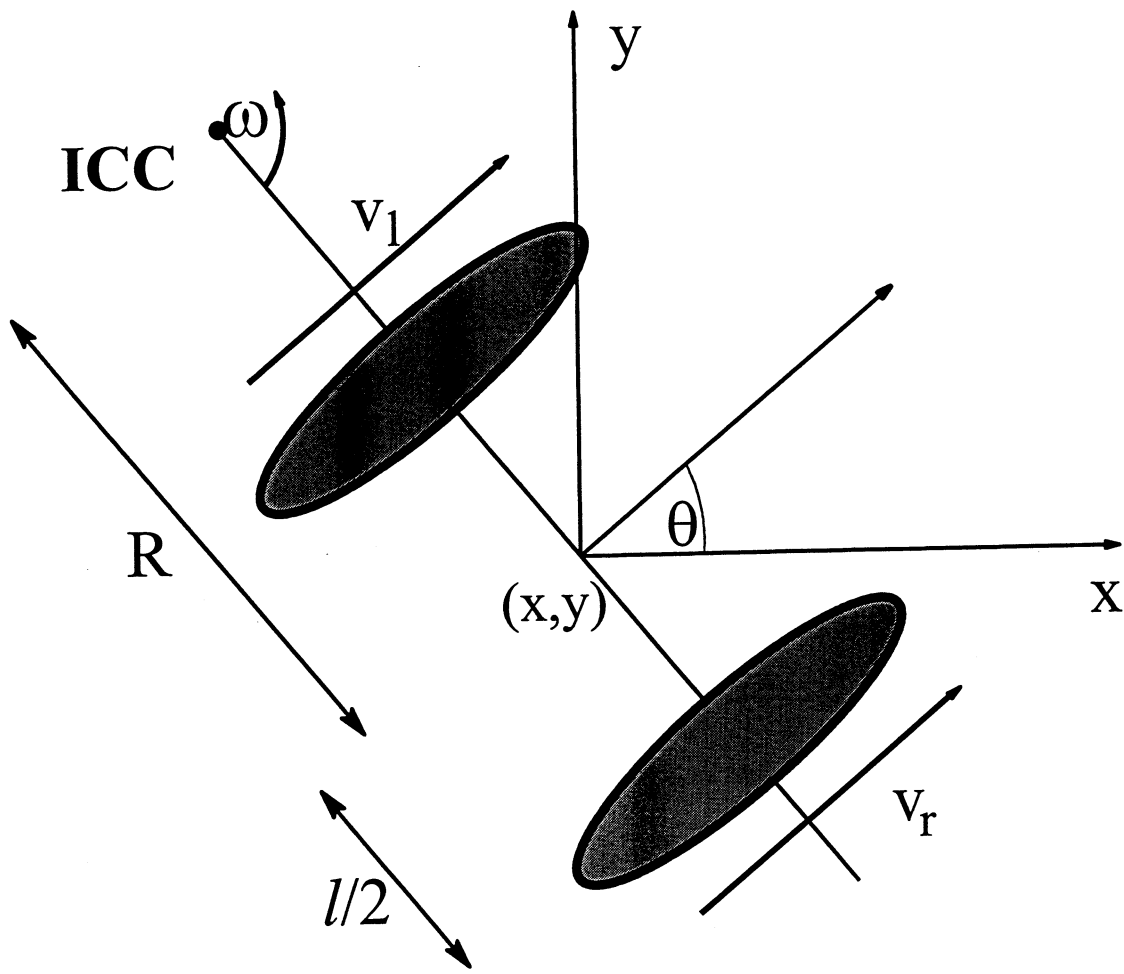
- ▷ diferenciální polohu
- ▷ Ackermannovo řízení (car-like)
- ▷ synchronní polohu
- ▷ všeobecnou kolkou
- ▷ synkrony vs. odstívny polohy kolových podvozků -
- pro odstívny polohu je nutné mít společný střed
otáčení (zkrivění) trajektorie pro všechna kola



pozn1: platí pouze pro ideálně "tenká" kola s sítíkou
běhounu $\rightarrow 0$

pozn2: ostatní situace (synkrony) jsou obdobně
analyticky postizitelné (fyzikální proces třem)

Diferenciální polohu.



$$ICC = [x - R \sin \theta, y + R \cos \theta]$$

Souřadnice
středu otáčení

$$v_r = \omega (R + l/2)$$

dopředná rychlosť pohyblivých
kol

$$v_e = \omega (R - l/2)$$

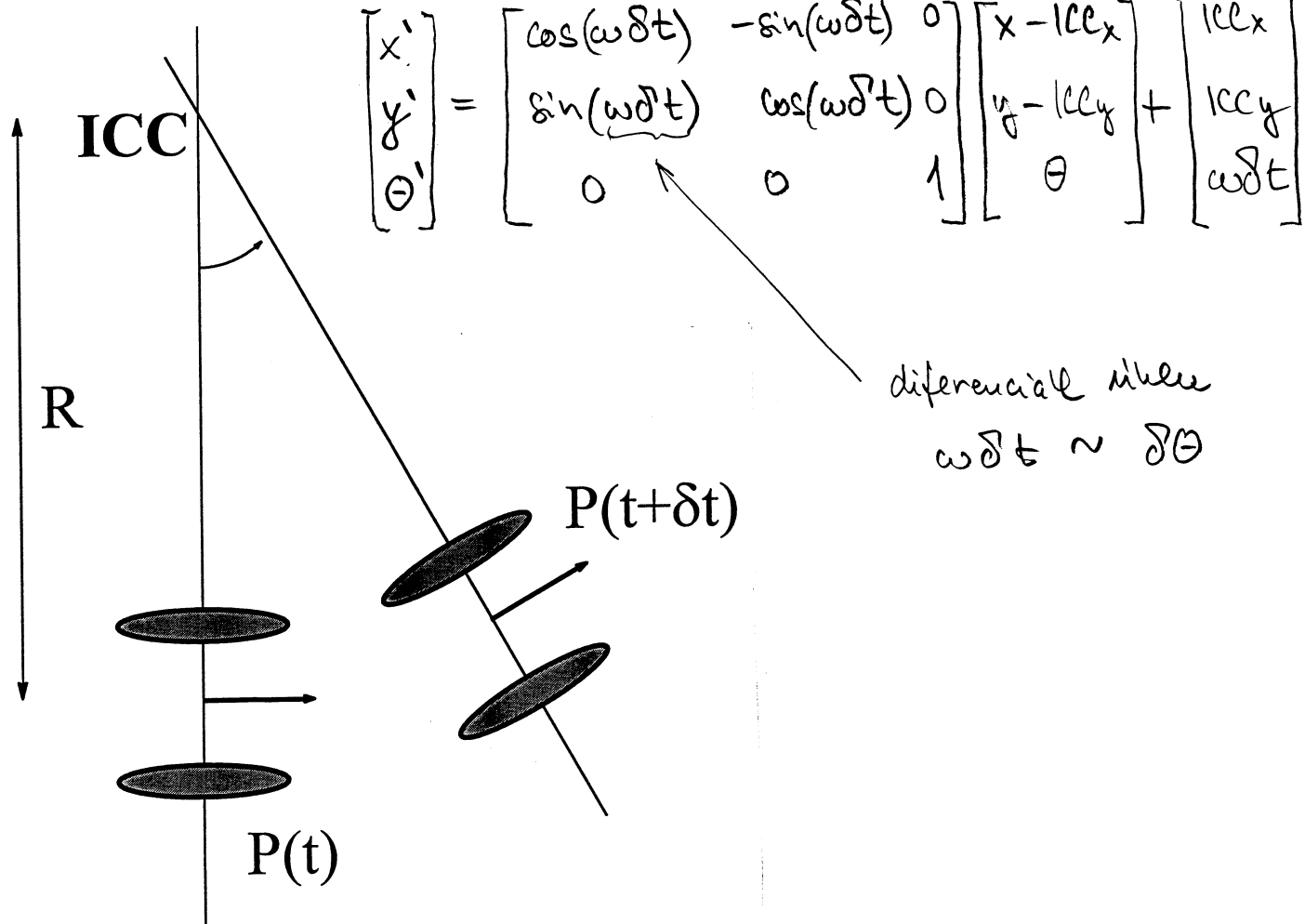
$$R = \frac{l(v_e - v_r)}{2(v_e - v_r)}$$

polomer zádacek

$$\omega = \frac{v_r - v_e}{l}$$

(úhlová) rychlosť zádacek

Kinematické rovnice pro libovolný pohyb:



'ubegvací' předchůzího:

$$x(t) = \int_0^t v(t') \cdot \cos[\theta(t')] dt'$$

$$y(t) = \int_0^t v(t') \cdot \sin[\theta(t')] dt'$$

$$\theta(t) = \int_0^t \omega(t') dt'$$

z cehouž plynue:

(6)

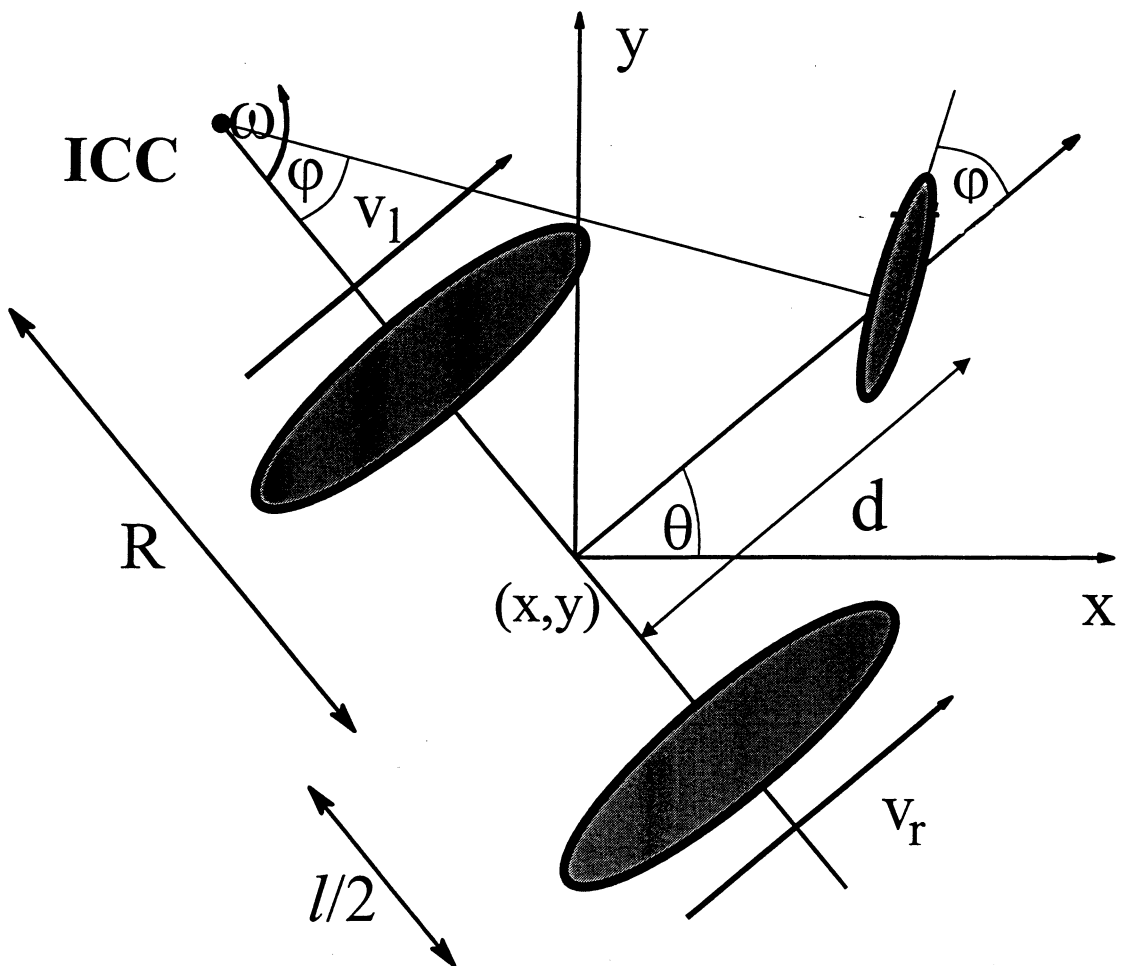
že po dosažení platí \vec{v} (zvláštní polohové rovnice) :

$$x(t) = \frac{1}{2} \int_0^t [v_r(t') + v_e(t')] \cdot \cos [\Theta(t')] dt'$$

$$y(t) = \frac{1}{2} \int_0^t [v_r(t') + v_e(t')] \cdot \sin [\Theta(t')] dt'$$

$$\Theta(t) = \frac{1}{\ell} \int_0^t [v_r(t') - v_e(t')] dt'$$

Ackermannův pokrov (car-like)



$$\text{ICC} = [x - R \cdot \sin \theta, y + R \cdot \cos \theta]$$

kde $R = d / \tan \varphi$

souřadnice středu
střední

$$v_r = \omega (R + l/2)$$

$$v_e = \omega (R - l/2)$$

$$R = \frac{l(v_e + v_r)}{2(v_r - v_e)}$$

$$\omega = \frac{v_r - v_e}{l}$$

} dopravní rychlosť kol

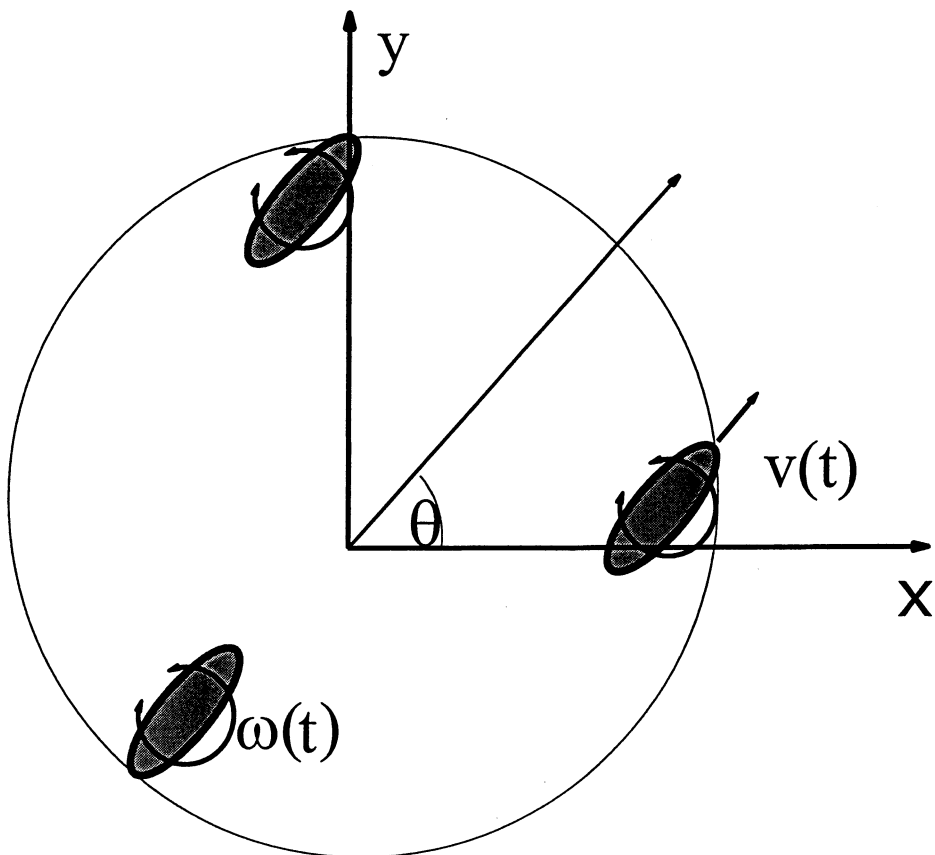
pomer zatačení

rychlosť zatačenia

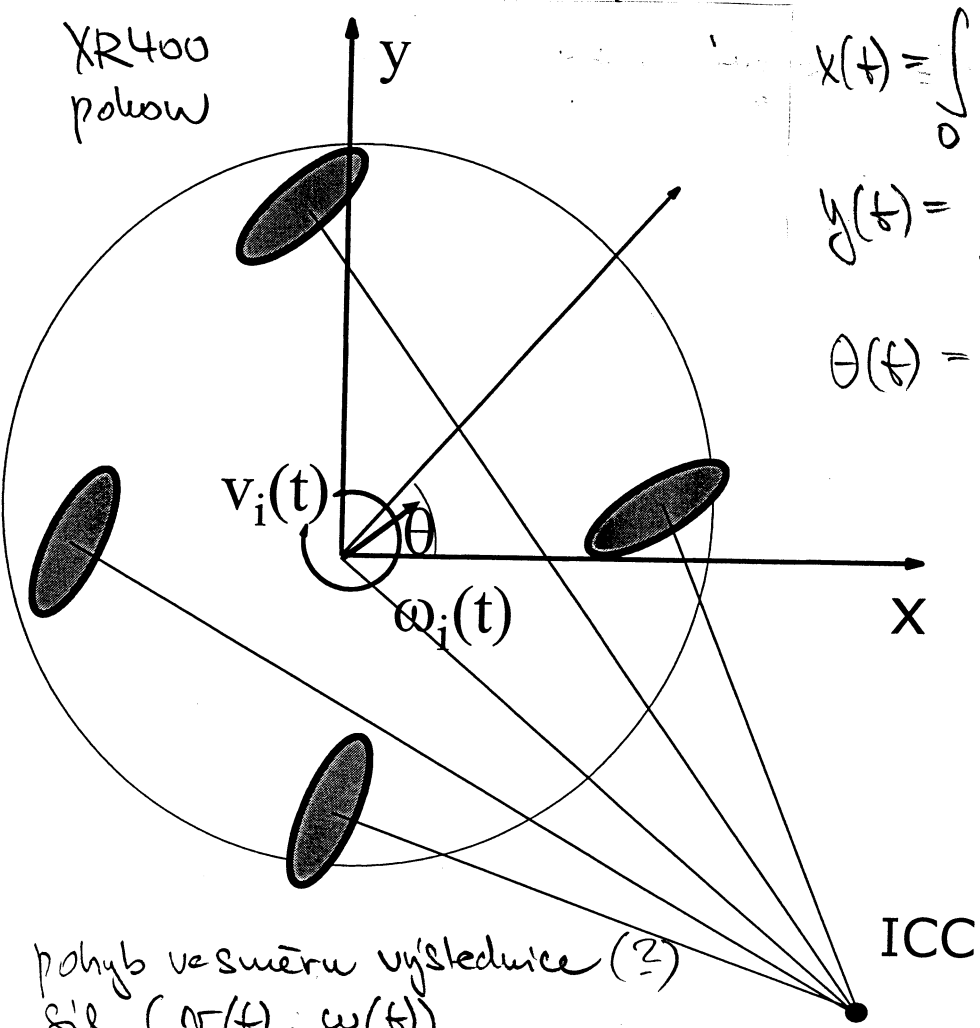
+ lze dosadit do polohy kol veľ obdobne ako
v predchozim

Speciálu' pro' pády polohu:

Synchronní polohu: všechna body sleduj $\omega(t)$ a $v(t)$



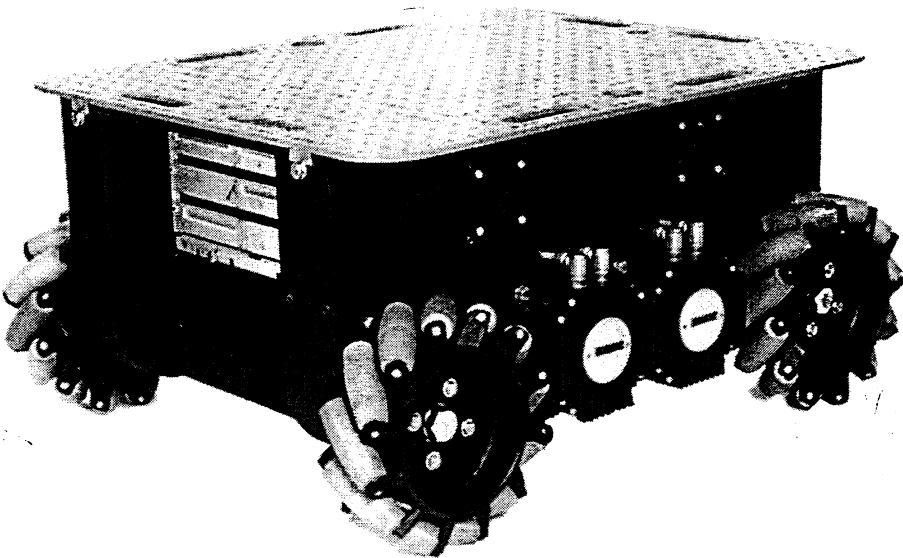
pro oba typy
polohu platí:



pohyb ve směru výstřednice (?)
síle ($\text{Nr}(t)$, $\omega(t)$)

$$\begin{aligned}x(t) &= \int_0^t v(t') \cos[\theta(t')] dt' \\y(t) &= \int_0^t v(t') \sin[\theta(t')] dt' \\ \theta(t) &= \int_0^t \omega(t') dt'\end{aligned}$$

Vesmírová kola (mechanum) :



$$v_f = \frac{1}{4} (v_0 + v_1 + v_2 + v_3) \quad \text{dopředná rychlos}$$

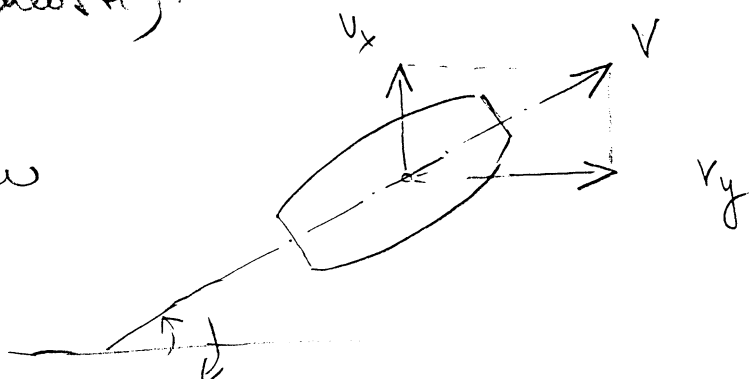
$$v_x = \frac{1}{4} (v_0 - v_1 + v_2 - v_3) \quad \text{rychlosť bočná}$$

$$v_\theta = \frac{1}{4} (v_0 + v_1 - v_2 - v_3) \quad \text{Odáván}$$

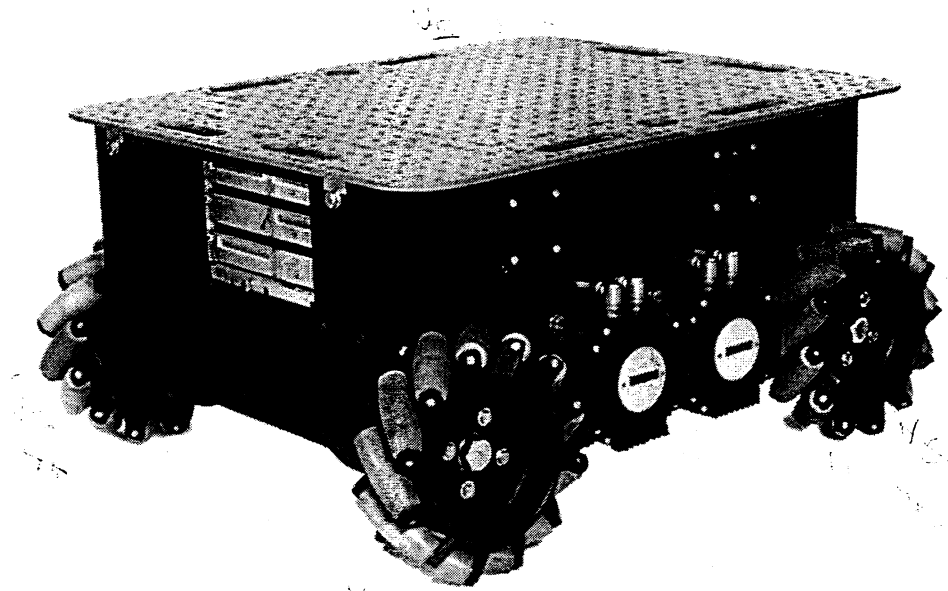
$$v_{\text{error}} = \frac{1}{4} (v_0 - v_1 - v_2 + v_3)$$

na každém sub-kole dochází k rozkladu
sile (rychlosťi).

$$v_y = R \cdot \omega$$



Všesměrová kola (mechanum) :



$$v_y = \frac{1}{4} (v_0 + v_1 + v_2 + v_3) \quad \text{dopředná rychl.}$$

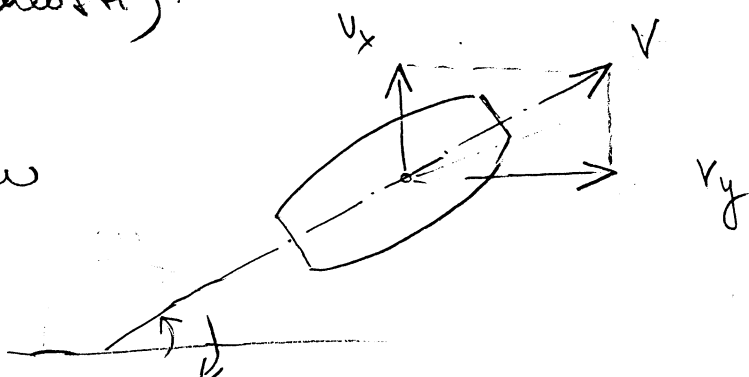
$$v_x = \frac{1}{4} (v_0 - v_1 + v_2 - v_3) \quad \text{rychlosť bočná}$$

$$v_\theta = \frac{1}{4} (v_0 + v_1 - v_2 - v_3) \quad \text{odáček}$$

$$v_{\text{error}} = \frac{1}{4} (v_0 - v_1 - v_2 + v_3)$$

na každém sub-kole dochází k rozkladu
síl (rychlosťi).

$$v_y = R \cdot \omega$$



Holonomické vs. non-holonomicke

Systém a jeho omezení

- nutno mech. systém popsat v prostoru zábeznených souřadnic $\vec{q} \in Q$, kde Q je stavový prostor robotu (konfigurační prostor)
 - pro danou trajektorii $q(t)$ nechť je vektor rychlosti $\dot{\vec{q}}(t) \in T_q(Q)$
- vývoj systému ve stavu \vec{q} s ridicím vstupem $\vec{u} \in U$ z prostoru řízení (kontrolní prostor) podle každé funkce $F: [Q, U] \rightarrow T_q(Q)$ - prostor zábeznených souřadnic

$$\text{tedy } \dot{\vec{q}} = F(\vec{q}, \vec{u})$$

je základem kinematických rovnic

příklad: plotter, bez dynamiky

$$\begin{bmatrix} \dot{x} \\ \dot{y} \end{bmatrix} = \begin{bmatrix} 0 & 0 \\ 0 & 0 \end{bmatrix} \cdot \begin{bmatrix} x \\ y \end{bmatrix} + \begin{bmatrix} M_x \\ M_y \end{bmatrix}$$

- reálné systémy vždy vykazují kinematická omezení zábeznených souřadnic, jež lze zapsat ve tvaru:

$$a_i(\vec{q}, \dot{\vec{q}}) = 0 \quad i = 1 \dots k, \quad k < n$$

n .. dimenze systému

kinematická omezení lze zaplatit ve formě:

$$a_i \cdot \vec{g} \cdot \dot{\vec{g}} = 0 \quad i = 1..k, k \leq n$$

- je-li omezení integratoradelné \Rightarrow je tzn. holonomní
- jsou-li všechna omezení systému holonomní je systém bez holonomní.

príklad: jednoduché omezení pro předchozí systém (plotter) může být $2x\dot{x} + 2y\dot{y} = 0$
po integraci tedy $x^2 + y^2 = C^2 \Rightarrow$ omezení na kruhové trajektorie paře

- důsledky:
- o holonomní omezení omezí stavový prostor robota, tj. robot se nemůže pohybovat prostoru libovolně (tj. se označuje jako geometrické omezení)
 - výhoda je, že lze obecnou postupem dosáhnout syntézy růžic (trajektoria A \rightarrow B)
 - o non-holonomní systémy jsou obtížné řidiťelné, neexistuje jednoduchý postup kalibrace řízení \Rightarrow třeba se preplňují řidičkami strategií:
 - nelze asymptoticky stabilizovat (spofte)

Kategorie pohybu mobilního robota

▷ problém přesunu z počátečního do cílového stavu

3 kategorie níže:

▷ plánování cesty

- vytváří posloupnost míst - základních bodů, které robot musí navštívit přicestě z počátečního do cílového stavu
- respektuje překážky v prostoru a delší omezení, metoda jde globálně

▷ generování trajektorie

- je lokální plánování trasy bez ohledu na překážky - plánování spojité trajektorie podle základních bodů trasy
 - zahrnuje kinematická omezení robotu, časové omezení, rychlosť a jiné konstrukce mechatronické součástky pro generování trajektorie
 - výstupem je časová řada
- $$\vec{q} = \vec{q}(t)$$

▷ Fázem'

- nejjednodušší možná realizace trajektorie, pouze ZPV reguluje pohyb robotu

- Vízor je 3 typů:

1) Stabilizace v bodě (posture stabilization)

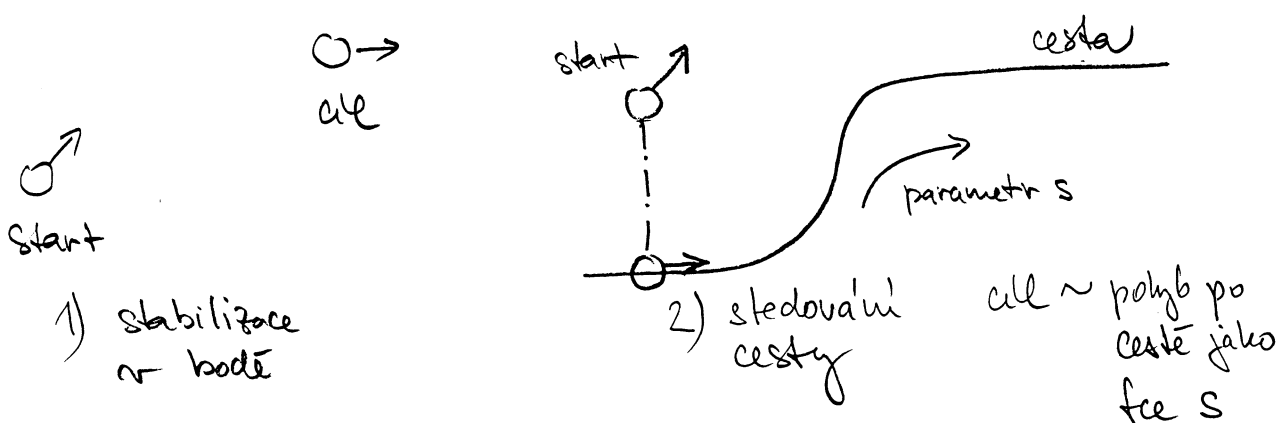
-robot dosahuje požadované polohy z poč. bodu
aktuální polohu udržuje (bez ohledu na trajektorii
polohy)

2) Stedování cesty (path following)

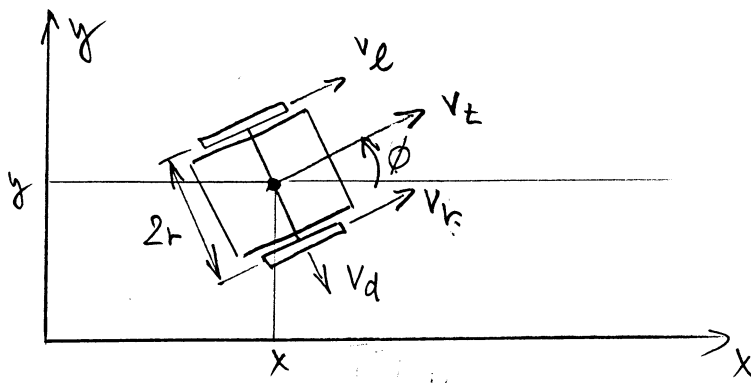
-robot z daného bodu dosahuje žádanej
cesty a ihneď následuje, minimalizuje se
vzdálenost robota od cesty podél řešení
(rychlosť nemá kritickou)

3) Stedování trajektorie (trajectory tracking)

-robot z daného počátečního bodu dosahuje
bodu trajektorie, jenž je f. časem a dle
se polohuje současně s ním.
(problem stedování polohy je referencí
bodu)



Dynamický model robotu



stav robotu: $(x, y, \phi, \dot{v}_r, \dot{v}_e)$ kde $v_r = k_r \cdot \omega_r$
 ↓
 poloha robotu $v_e = k_e \cdot \omega_e$
 $\omega_{e,r} \sim \text{náklon východ.}$
 koleček

pro nesmykavý polohy plati:

$$\begin{bmatrix} \dot{x} \\ \dot{y} \\ \dot{\phi} \\ \dot{v}_r \\ \dot{v}_e \end{bmatrix} = \begin{bmatrix} \frac{1}{2}(v_r + v_e) \cos \phi \\ \frac{1}{2}(v_r + v_e) \sin \phi \\ \frac{1}{2r}(v_r - v_e) \\ 0 \\ 0 \end{bmatrix} + \begin{bmatrix} 0 \\ 0 \\ 0 \\ 1 \\ 0 \end{bmatrix} a_r + \begin{bmatrix} 0 \\ 0 \\ 0 \\ 0 \\ 1 \end{bmatrix} a_e$$

prádelním směrem zrychlení

koleček: $|\dot{v}_r| = |a_r| < a_{\max}^{\omega}$

$|\dot{v}_e| = |a_e| < a_{\max}^{\omega}$

a_r, a_e jsou oboustrané
zrychlení
koleček

a směrem rychlosti:

$|v_r| < v_{\max}^{\omega}$

$|v_e| < v_{\max}^{\omega}$

- aby se robot nesmykal, musí \vec{v} vždy mít směr kolmý k rychlosti vektoru robotu (tj. $v_d \neq 0$)
což lze zapsat: $v_d = \dot{x} \sin(\phi) - \dot{y} \cos(\phi) \neq 0$

- pozn.:
- a) omezení rychlosti je holonomní podmínka
(omezuje stavový prostor robota)
 - b) omezení suťan a omezení rychlejm
jsou neholonomní podmínky \Rightarrow
omezení řiditelnosti robota / resp. složitosti
regulační

Zpětnovazební regulace

- ▷ Cílem je řízení robotu po zadanej trajektorii
- ▷ Vstupem regulátoru jsou jednotlivé body trajektorie podle typu regulátoru :
 - vstupní body jsou doložené s poz. polohou robotu nebo $(x(t), y(t), \phi(t))$
 - vstup. body jsou doložené s př. stavem robotu nebo $(x(t), y(t), \dot{\phi}(t), v(t), \omega(t))$
 - nebo celisti $(x(t), y(t), \phi(t), v(t))$
- ▷ Výstupem regulátoru jsou rychlosti koteček v_r, v_e

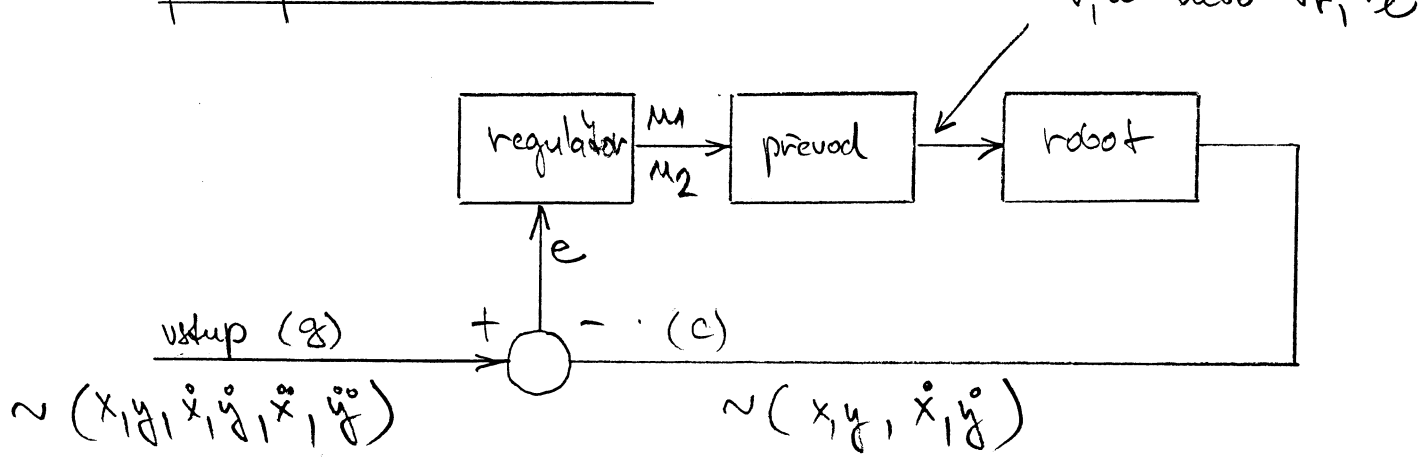
$$\text{kde : } v_r = v + t \cdot \omega$$

$$v_e = v - t \cdot \omega$$

dopředná
rychlosť
robotu

uklova
rychlosť
otáčení

principiální schéma:



► Vzhledem k dimenzi systému vede řešení většinou na stavový regulačor (sudnější dosažení požadovaného chování a stability)

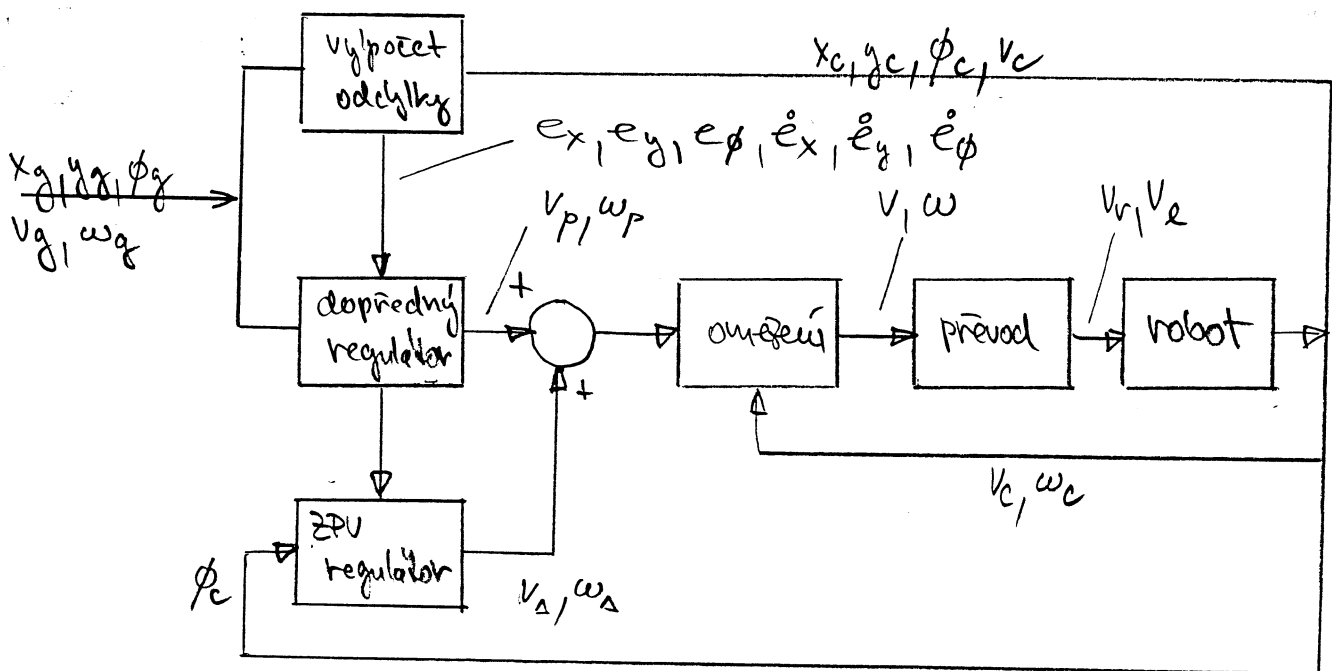
pak např. při snaze o regulaci zrychlení robotu může regulační pravidlo byt ve tvaru:

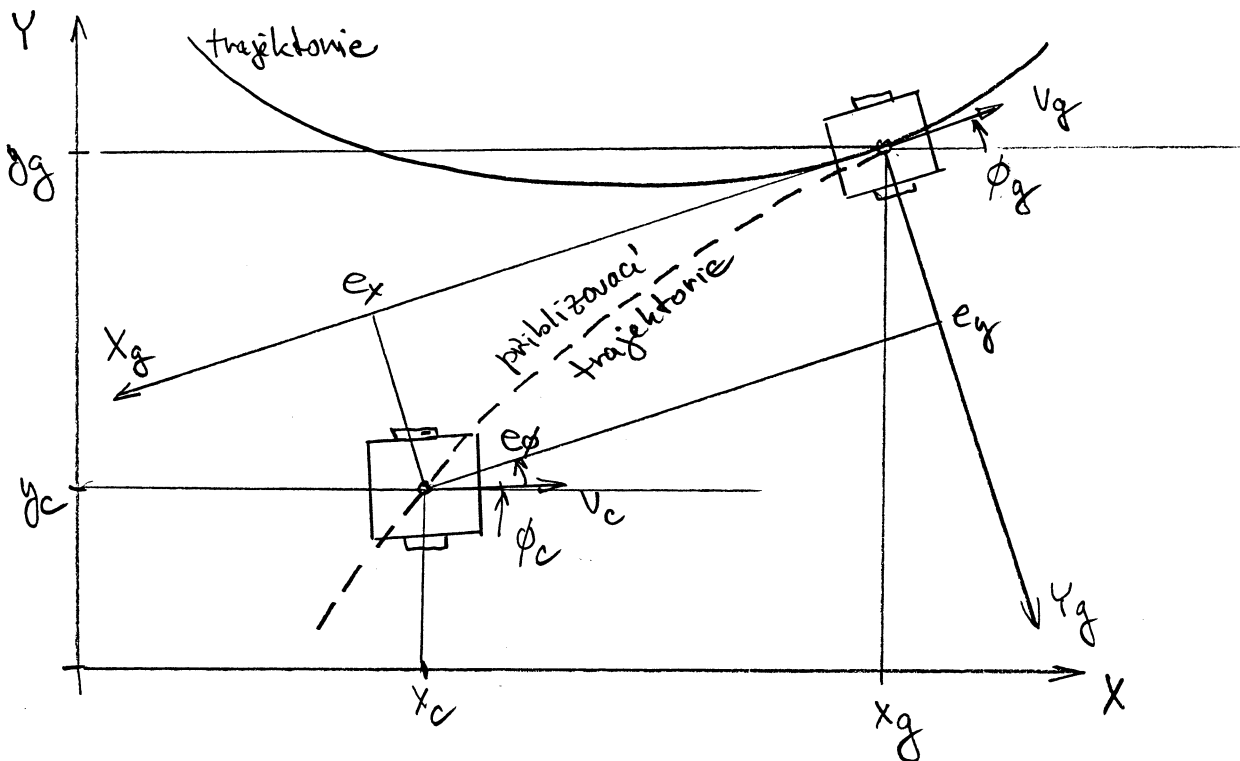
$$u_1 \sim \ddot{x}_g + k_{d1}(\dot{x}_g - \dot{x}_c) + k_{p1}(x_g - x_c)$$

$$u_2 \sim \ddot{y}_g + k_{d2}(\dot{y}_g - \dot{y}_c) + k_{p2}(y_g - y_c)$$

\begin{array}{c}
 \text{---} \\
 \text{---} \\
 \text{derivační konstanty}
 \end{array}
 \quad
 \begin{array}{c}
 \text{---} \\
 \text{---} \\
 \text{proporcionalní konstanty}
 \end{array}

Regulace s priblížovací krivkou





→ určení odchylky robota od cílové polohy

role jednotlivých regulátorů:

dopředný regulátor :
(feed forward)

generování približovací trajektorie v otevřené smyčce (postupnost bodů)

nejdej približovací funkci $y_p = P(x_p)$,
jenž musí "konečit" v bode dotyku
nulovými derivacemi až do řádu 2, tj.

$$P(x_p) \Big|_{x_p=0} = 0$$

$$\frac{dP(x_p)}{dx_p} \Big|_{x_p=0} = 0$$

$$\frac{d^2P(x_p)}{dx_p^2} \Big|_{x_p=0} = 0$$

- ⇒ předchozí podmínce vykouče ne-trivialní
 případ např.: $P(x_p) = \frac{c_x x_p^3}{1}$

Zpětnovazební regulátor: ⇒ následně je význam robotu
 podle přibližovací křivky

- ⇒ klasickým současníkem (lineární)
 výkonek je současný zvyšek
 (dopředu i náhodný)

klasického systému regulace
 je požadovaná přesnost
 (ideální - spojité případ)

realizace případ dle
 vedené na jednoduchém
 řešení

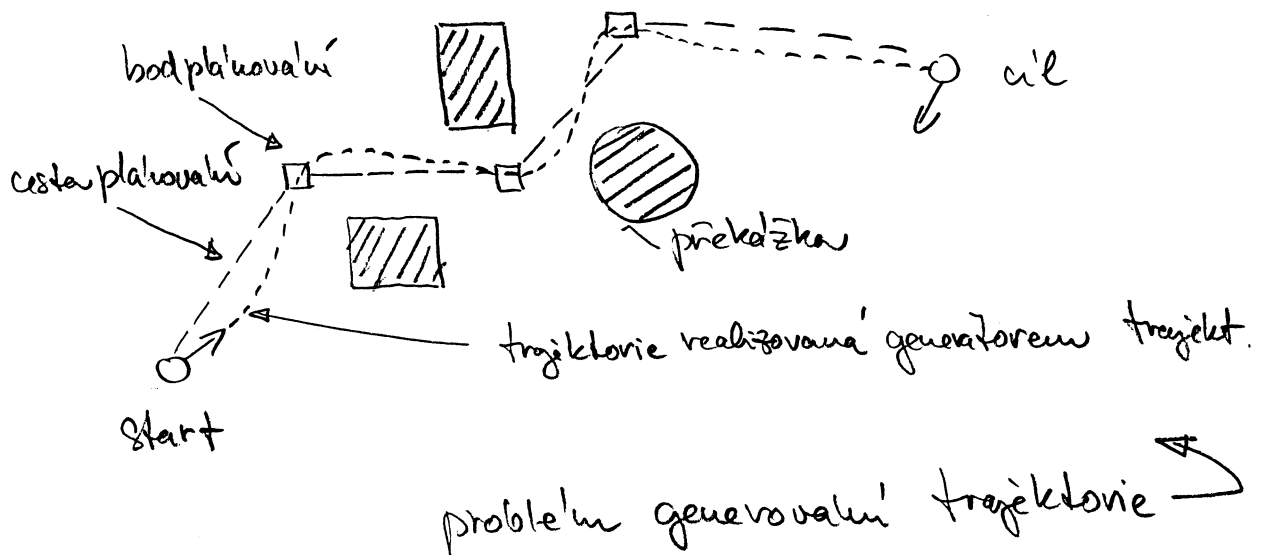
např. BANG-BANG regulace

$$v_\Delta = \left[2a_{\max} |e_x| \right]^{1/2} \text{sign}(e_x)$$

$$\omega_\Delta = \left[2\alpha_{\max} |\phi_p - \phi_c| \right]^{1/2} \text{sign}(\phi_p - \phi_c)$$

max. dopředu
 zrychlení max. náhodný
 zrychlení

Generovaní trájektorie



- ▷ požadavky při generování trájektorie - optimalita
(čas, energie, kinematika a dynamická smyslost atd.)

Základní postupy:

- ① Metody založené na sestádání optimálních subtrajektorií -
- vychází z Principu Maxima \Rightarrow fázem robota probíhá v každém okamžiku s max. možnou hodnotou \Rightarrow generovaní optimální subtrajektorie

- o časově optimální !

- o energeticky neefektivní !

② Metody approximující charakter robotov spojovaných

- ▷ Obecně funkce $f(t)$, t - čas
- ▷ Mídi kružnice, polynom a spline nebo kombinace
- ▷ druh použité approximace zajišťuje především vlastnosti trajektorie - např. hladké navazací části trajektorie při inkrementálním vypočtu, atd.
- ▷ přesné a časově optimalní postupy jsou vypočítané načrtne!

Často používají jsou spliny:

Def.: Majme $n+1$ bodů v rovině $P_0, P_1 \dots P_n$
 Spline krivku m-deho řádu nechť je funkce
 $f(x)$ mající spojité derivace $f'(x), f''(x) \dots f^{(m-1)}(x)$
 a na každému intervalu (x_i, x_{i+1}) je
 polynomem stupně m.

Z Čehož plyne že: spline je polynomická krivka
 se zaručenou spojitou derivací
 v navažujících bodech

pr. kubick Coonsova krivka

$$C(t) = \sum_{i=0}^3 c_i(t) P_i \quad t \in [0,1]$$

kubick Coonsovy
 polynomy

Kubicí body
 krivky (vždy 4)

kde:

$$C_0(t) = \frac{1}{6} (1-t)^3$$

$$C_1(t) = \frac{1}{6} (-3t^3 + 3t^2 + 3t + 1)$$

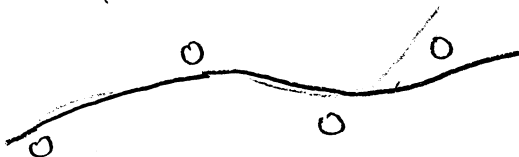
$$C_2(t) = \frac{1}{6} (3t^3 - 6t^2 + 4)$$

$$C_3(t) = \frac{1}{6} t^3 \quad \square$$

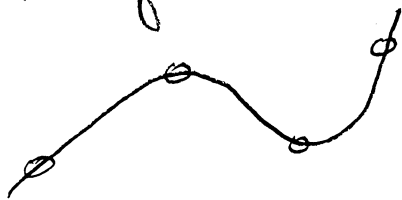
dalsí: Bezier, Clothoida atd.

poznámka:

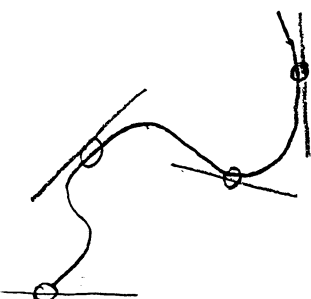
- ▷ pováti splinu realizuje aproximaci, což znamená, že křivka neprochází všedními body



- ▷ existují i metody interpolace, které zaručí prochod body



- ▷ dalsí jsou tzv. free-form křivky
 - vlastní polygon (sokr. bodů)
 - approximace nebo interpolace
 - odlišné podmínky na okrajích



(3)

Metody s částečnou approximací dráhy robotu

- ▷ kombinace approximace dráhy a stabilizace robotu v bodě
- ▷ použití approximaci jednoznačnými křivkami (kružnice, přímka, polygon) ale nezaručují spojitost trajektorie (C^0 nebo C^1 spojitost)
 - řešení oblasti nepojitosti je uložen regulátorem
 - Výhodou je nízka výpočetní náročnost
 - časová optimálnita závisí na regulátoru a může být velmi dobrá